

## **ANALISIS ULANG STRUKTUR BANGUNAN AIR TRAFFIC CONTROL (ATC) DI BANDARA DEPATI AMIR PANGKALPINANG**

**Vania Oktiani Pariyan<sup>1</sup>, Indra Gunawan S.T., M.T.<sup>2</sup>, Ferra Fahriani S.T., M.T.<sup>3</sup>**

<sup>1</sup>Alumni Jurusan Teknik Sipil Fakultas Teknik Universitas Bangka Belitung

E-mail : [vaniaphung0110@gmail.com](mailto:vaniaphung0110@gmail.com)

<sup>2</sup>Staf Pengajar Jurusan Teknik Sipil Fakultas Teknik Universitas Bangka Belitung

<sup>3</sup>Staf Pengajar Jurusan Teknik Sipil Fakultas Teknik Universitas Bangka Belitung

### **ABSTRAK**

*Setiap bandar udara memiliki bangunan Air Traffic Control (ATC) yang berperan penting sebagai pusat koordinasi untuk keselamatan dan efisiensi pergerakan pesawat terbang. Hingga tahun 2016, bangunan ATC di Bandara Depati Amir – Pangkalpinang sudah melayani pergerakan pesawat mencapai 28 pesawat per hari. Dalam melakukan pelayanan lalu lintas udara, ketinggian bangunan ATC di Bandara Depati Amir saat ini dinilai kurang tinggi, sehingga pengawasan terhadap pergerakan pesawat tidak optimal. Untuk meningkatkan pelayanan lalu lintas udara, Perusahaan Umum Lembaga Penyelenggara Pelayanan Navigasi Penerbangan Indonesia (Perum LPPNPI) melaksanakan pembangunan menara pengawas yang baru untuk Bandara Depati Amir – Pangkalpinang. Metode kontrak pada proyek pembangunan bangunan ATC Bandara Depati Amir merupakan kontrak rancang bangun, dimana kontraktor dilibatkan dalam proses perencanaan. Sehingga dalam pelaksanaannya, Detail Engineering Design (DED) mengalami perubahan yang disesuaikan dengan kondisi lapangan. Dalam penelitian ini dilakukan analisis terhadap struktur bangunan Air Traffic Control (baru) di Bandara Depati Amir – Pangkalpinang berdasarkan pelaksanaan di lapangan.*

*Berdasarkan hasil analisis struktur beton bertulang mampu menahan beban yang bekerja. Struktur pelat S1 dan S2 memenuhi syarat rasio penulangan serta memenuhi syarat kekuatan. Struktur balok G2, B3, CG, LB dan CB1A memenuhi syarat rasio penulangan serta syarat kekuatan lentur dan geser, struktur balok G1 dan G3 pada daerah tumpuan memenuhi syarat rasio penulangan serta syarat kekuatan lentur dan geser namun pada daerah lapangan tidak memenuhi syarat rasio penulangan. Pada balok B1 pada daerah tumpuan tidak memenuhi syarat rasio penulangan serta syarat kekuatan lentur dan geser, sedangkan pada daerah lapangan memenuhi syarat rasio penulangan serta syarat kekuatan lentur dan geser. Berdasarkan diagram interaksi kolom, struktur kolom K1, K2 dan K3 memenuhi syarat kekuatan.*

*Untuk struktur baja, struktur kolom baja (WF 450x200) tidak mampu menahan beban yang bekerja, dengan hasil analisis tidak memenuhi syarat interaksi kuat aksial dan lentur namun memenuhi syarat kekuatan geser. Struktur balok baja (WF 200x100, WF 300x150, WF 300x175 dan WF 400x200) mampu menahan beban yang bekerja, dengan hasil analisis memenuhi syarat interaksi kuat aksial dan lentur serta syarat kekuatan geser.*

*Sambungan balok mampu menahan beban-beban yang bekerja, ketebalan baseplate mencukupi ketebalan minimum yang dibutuhkan, sedangkan baut angkur tidak memenuhi syarat interaksi kuat tarik dan geser.*

**Kata kunci : ATC, analisis, struktur**

## PENDAHULUAN

Setiap bandar udara memiliki bangunan *Air Traffic Control* (ATC) berperan penting sebagai pusat koordinasi untuk keselamatan dan efisiensi pergerakan pesawat terbang. Bangunan ATC atau menara pengawas merupakan sebuah bangunan permanen yang berfungsi memantau area-area di dalam dan sekitar bandar udara yang ditentukan untuk diawasi sehingga dapat dilakukan pengawasan untuk menjaga keselamatan penerbangan. Menara pengawas merupakan bangunan tertinggi yang berada di sekitar kawasan bandar udara.

Di Bandara Depati Amir Pangkalpinang, bangunan ATC pertama kali dibangun pada tahun 1975 dengan ketinggian  $\pm 15$  meter. Dalam melakukannya pelayanan lalu lintas udara, ketinggian bangunan ATC di Bandara Depati Amir saat ini dinilai kurang tinggi, sehingga pengawasan terhadap pergerakan pesawat tidak optimal.

Perusahaan Umum Lembaga Penyeleng-gara Pelayanan Navigasi Penerbangan Indonesia (Perum LPPNPI) melaksana-kan pembangunan menara pengawas yang baru untuk Bandara Depati Amir Pangkalpinang. "Proyek Pekerjaan Rancang Bangun (*Design & Build*) Pembangunan Tower ATC Beserta Kelengkapnya di Pangkalpinang" dimulai pada bulan April 2017, dengan lokasi

pekerjaan berada tepat dibelakang tower eksisting. Bangunan ATC ini bersegi 8 dan memiliki ketinggian 34 meter dengan 8 tingkat lantai. Material untuk struktur bangunan adalah beton bertulang dan baja. Struktur beton bertulang digunakan pada pondasi sampai lantai tingkat 7 dan dak atap, sedangkan struktur baja digunakan pada lantai tingkat 8 yang difungsikan sebagai ruang kabin.

Metode kontrak pada proyek pembangunan bangunan ATC Bandara Depati Amir merupakan kontrak rancang bangun. Sehingga dalam pelaksanaannya, *Detail Engineering Design* (DED) mengalami perubahan yang disesuaikan dengan kondisi lapangan. Dalam penelitian ini dilakukan analisis terhadap struktur bangunan *Air Traffic Control* (baru) di Bandara Depati Amir Pangkalpinang berdasarkan pelaksanaan di lapangan.

Tujuan dari penyusunan penelitian ini yaitu sebagai berikut :

1. Untuk mengetahui kemampuan elemen struktur beton bertulang (pelat, balok dan kolom) dalam menahan beban yang bekerja pada Bangunan *Air Traffic Control* (ATC) di Bandara Depati Amir – Pangkalpinang.
2. Untuk mengetahui kemampuan elemen struktur baja (balok, kolom, sambungan, *baseplate* dan baut angkur) dalam menahan beban yang bekerja pada Bangunan *Air*

*Traffic Control (ATC)* di Bandara Depati Amir – Pangkalpinang.

## LANDASAN TEORI

### A. Standar Perencanaan

1. Pedoman Perencanaan Pembebaan Untuk Rumah dan Gedung Tahun 1987 (PPPURG 1987),
2. Tata Cara Perencanaan Ketahanan Gempa Untuk Struktur Bangunan Gedung dan Non Gedung (SNI 1726-2012),
3. Persyaratan Beton Struktural Untuk Bangunan Gedung (SNI 2847-2013),
4. Spesifikasi Untuk Bangunan Gedung Baja Struktural (SNI 1729-2015).

### B. Pelat Beton Bertulang

Pelat beton bertulang merupakan struktur tipis yang terbuat dari beton bertulang dengan bidang yang arahnya horizontal dan beban yang bekerja tegak lurus pada bidang struktur tersebut (Ali Asroni, 2010).

Rasio penulangan ( $\square$ ) harus memenuhi  $\square_{\min} < \square < \square_{\max}$ , dengan :

$$\rho = \frac{A_s}{b \cdot d} \quad (1)$$

$$\rho_{\min} = \frac{0,25\sqrt{f_c'}}{f_y} \quad (2)$$

$$\text{atau } \rho_{\min} = \frac{1,4}{f_y} \quad (3)$$

digunakan nilai  $\square_{\min}$  yang paling besar.

$$\rho_{\max} = \frac{0,003 + \frac{f_y}{E_s}}{0,003 + \varepsilon_t} \rho_b \quad (4)$$

$$\rho_b = 0,85 \beta_1 \frac{f_c'}{f_y} \left( \frac{600}{600 + f_y} \right) \quad (5)$$

Kapasitas lentur pelat harus memenuhi  $M_r \geq M_u$ , dengan :

$$M_r = \square \cdot M_n \quad (6)$$

$$M_n = A_s f_y \left( d - \frac{a}{2} \right) \quad (7)$$

$$a = \frac{A_s f_y}{0,85 f_c' b} \quad (8)$$

### C. Balok Beton Bertulang

Balok dapat didefinisikan sebagai salah satu dari elemen struktur portal dengan bentang yang arahnya horizontal. Beban yang bekerja pada balok biasanya berupa beban lentur, beban geser maupun torsi (momen puntir), sehingga perlu baja tulangan untuk menahan beban-beban tersebut. Tulangan ini berupa tulangan memanjang atau tulangan longitudinal (yang menahan beban lentur) serta tulangan geser/begel (Ali Asroni, 2010).

Rasio penulangan balok tulangan rangkap harus memenuhi  $\square_{\min} < (\square \square \square') \square < \square_{\max}$ , dengan :

$$\rho' = \frac{A_s'}{b \cdot d} \quad (9)$$

Kapasitas momen harus memenuhi  $M_r \geq M_u$ , dengan :

$$M_n = M_{nc} + M_{ns} \quad (10)$$

$$M_{nc} = 0,85 f_c' \cdot b \cdot a \left( d - \frac{a}{2} \right) \quad (11)$$

a. Tulangan tekan sudah luluh

$$M_{ns} = A_s' f_y (d - d_s') \quad (12)$$

b. Tulangan tekan belum luluh

$$M_{ns} = A_s \cdot f_s (d - d_s) \dots \dots \dots (13)$$

#### D. Kolom Beton Bertulang

Kolom merupakan suatu komponen struktur vertikal yang secara khusus difungsikan untuk memikul beban aksial tekan (dengan atau tanpa adanya momen lentur). Batas rasio kelangsungan kolom :

a. Kolom bergoyang

b. Kolom tidak bergoyang

$$\frac{k_{1u}}{r} \leq 34 - 12 \left( \frac{M_1}{M_2} \right) \leq 40 \quad \dots \dots \dots (15)$$

Jika batas rasio kelangsungan tidak terpenuhi, maka kolom termasuk jenis kolom panjang dan efek kelangsungan harus diperhitungkan dengan pembe-saran momen.

a. Kolom bergoyang

$$M_c \equiv \square_{ns.} M_2 \quad (16)$$

$$\delta_{ns} = \frac{C_m}{1 + \frac{P_u}{0.75P_r}} \geq 1.0 \quad \dots \dots \dots \quad (17)$$

b. Kolom tidak bergoyang

$$\mathbf{M}_1 = \mathbf{M}_{1\text{ns}} + \square_s \mathbf{M}_{1s} \quad (18)$$

$$\mathbf{M}_2 = \mathbf{M}_{2\text{ns}} + \square_s \cdot \mathbf{M}_{2s} \quad (19)$$

Analisis kolom selanjutnya dilakukan dengan mengaplikasikan kondisi penampang kolom akibat pengaruh beban aksial ke dalam diagram interaksi.

## E. Struktur Portal Baja

Berikut merupakan keunggulan baja sebagai material konstruksi :

1. Mempunyai kekuatan yang tinggi,
  2. Keseragaman dan keawetan yang tinggi,
  3. Sifat elastis,
  4. Daktilitas cukup tinggi,
  5. Kemudahan penyambungan antar-elemen, serta pembuatan baja mudah dibentuk menjadi penampang yang diinginkan.

Interaksi lentur dan gaya aksial pada penampang simetri ganda atau simetri tunggal dengan  $0,1 \leq I_{yc}/I_y \leq 0,9$  harus memenuhi :

- a. Bila  $\frac{P_u}{P_c} \geq 0,2$

$$\frac{P_u}{P_f} + \frac{8}{9} \left( \frac{M_{ux}}{M_{rx}} + \frac{M_{uy}}{M_{ry}} \right) \leq 1,0 \quad \dots \dots \dots (21)$$

- b. Bila  $\frac{P_u}{P_r} < 0,2$

$$\frac{P_u}{2P_r} + \left( \frac{M_{ux}}{M_{rx}} + \frac{M_{uy}}{M_{ry}} \right) \leq 1.0 \dots \dots \dots (22)$$

F. Sambungan Baja

Sambungan merupakan gabungan beberapa komponen batang yang disatukan dengan alat sambung. Jenis-jenis alat sambung yang dapat digunakan adalah las, baut dan paku keling. Pengelasan pada sambungan las merupakan penyambungan bahan logam yang menghasilkan peleburan bahan dengan cara memanasinya dengan atau tanpa menggunakan bahan pengisi. Jenis baut yang umum digunakan pada sambungan baut adalah baut mutu normal (A307) dan baut mutu tinggi (A325 dan A490).

## G. Baseplate

Struktur baja umumnya digunakan di bagian atas bangunan, di bagian bawah menggunakan struktur beton. *Baseplate* digunakan untuk menghubungkan kedua bagian tersebut.

## H. Baut Angkur

Baut angkur (*Anchor Bolt*) digunakan untuk menyatukan *baseplate* dengan beton bantalan. Dengan baut angkur, pelat dapat menerima beban yang lebih besar dan dapat mencegah kolom terbalik. Analisis kekuatan baut angkur dilakukan berdasarkan batas kekuatan baut angkur terhadap gaya tarik dan gaya geser.

## METODE PENELITIAN

### A. Lokasi Penelitian

Penelitian dilakukan pada Bangunan *Air Traffic Control* (ATC) di Bandara Depati Amir Pangkalpinang (alamat : Jl. Soekarno Hatta, Dul, Pangkalan Baru, Kabupaten Bangka Tengah, Kepulauan Bangka Belitung), Gambar 1.



Sumber : Google Maps

Gambar 1. Lokasi Penelitian

### B. Bahan dan Alat Penelitian

Bahan yang digunakan dalam penelitian ini berupa data sekunder yang diperoleh dari pihak kontraktor, yang berupa gambar pelaksanaan (*Asbuilt Drawing*) pekerjaan struktur di lapangan. Dimensi struktur beton bertulang yang digunakan dalam penelitian ini dirangkum ke dalam Tabel 1 sampai Tabel 3, sedangkan material baja struktur yang digunakan dirangkum dalam Tabel 4.

Alat yang digunakan dalam melakukan penelitian berupa perangkat lunak (*software*), terdiri dari :

1. Program SAP 2000, digunakan dalam analisis pembebanan untuk mendapatkan besar gaya dan momen maksimum.
2. Program *Microsoft Office*, terdiri dari *Microsoft Office Word* dan *Microsoft Office Excel*. *Microsoft Office Word* digunakan untuk penulisan laporan penelitian, sedangkan *Microsoft Office Excel* digunakan untuk analisis elemen-elemen struktur secara manual.

Tabel 1. Dimensi Pelat Beton Bertulang

| Tipe | Detail     |           |
|------|------------|-----------|
|      | Front View | Side View |
| S1   |            |           |
| S2   |            |           |

Sumber : PT. Nindya Karya, 2017

Tabel 2. Dimensi Balok Beton  
Bertulang

| tipe              | Detail   | tipe        | Detail   |                   |  |            |       |            |       |              |         |            |  |
|-------------------|--|-------------|----------|-------------------|--|------------|-------|------------|-------|--------------|---------|------------|--|
| G1                | <table border="1"> <tr> <td>P : Tumpuan</td> <td>Lapangan</td> </tr> <tr> <td>UB : 400 x 800 mm</td> <td></td> </tr> <tr> <td>TA : 7 022</td> <td>3 022</td> </tr> <tr> <td>TB : 4 022</td> <td>3 022</td> </tr> <tr> <td>SK : D10-100</td> <td>D10-150</td> </tr> <tr> <td>TP : 6 019</td> <td></td> </tr> </table> | P : Tumpuan | Lapangan | UB : 400 x 800 mm |  | TA : 7 022 | 3 022 | TB : 4 022 | 3 022 | SK : D10-100 | D10-150 | TP : 6 019 |  |
| P : Tumpuan       | Lapangan   |             |          |                   |  |            |       |            |       |              |         |            |  |
| UB : 400 x 800 mm |  |             |          |                   |  |            |       |            |       |              |         |            |  |
| TA : 7 022        | 3 022  |             |          |                   |  |            |       |            |       |              |         |            |  |
| TB : 4 022        | 3 022  |             |          |                   |  |            |       |            |       |              |         |            |  |
| SK : D10-100      | D10-150  |             |          |                   |  |            |       |            |       |              |         |            |  |
| TP : 6 019        |  |             |          |                   |  |            |       |            |       |              |         |            |  |

 G2 | |                   |          | |-------------------|----------| | P : Tumpuan       | Lapangan | | UB : 300 x 600 mm |          | | TA : 5 019        | 3 019    | | TB : 3 019        | 5 019    | | SK : D10-100      | D10-150  | | TP : 6 013        |          | || G3 | |                   |          | |-------------------|----------| | P : Tumpuan       | Lapangan | | UB : 200 x 400 mm |          | | TA : 5 022        | 3 022    | | TB : 3 022        | 3 022    | | SK : D10-100      | D10-150  | | TP : 2 011        |          | | G4 | |                   |         | |-------------------|---------| | P : Tumpuan       | Bebas   | | UB : 250 x 500 mm |         | | TA : 6 019        | 4 019   | | TB : 3 019        | 2 019   | | SK : D10-100      | D10-150 | | TP : 4 010        |         | |

Lanjutan Tabel 2. Dimensi Balok  
Beton Bertulang

| ipe               | Detail   | ipe         | Detail   |                   |  |            |       |            |       |              |         |            |  |
|-------------------|--|-------------|----------|-------------------|--|------------|-------|------------|-------|--------------|---------|------------|--|
| B1                | <table border="1"> <tr> <td>P : Tumpuan</td> <td>Lapangan</td> </tr> <tr> <td>UB : 300 x 600 mm</td> <td></td> </tr> <tr> <td>TA : 5 016</td> <td>3 016</td> </tr> <tr> <td>TB : 3 016</td> <td>5 016</td> </tr> <tr> <td>SK : D10-100</td> <td>D10-150</td> </tr> <tr> <td>TP : 6 010</td> <td></td> </tr> </table> | P : Tumpuan | Lapangan | UB : 300 x 600 mm |  | TA : 5 016 | 3 016 | TB : 3 016 | 5 016 | SK : D10-100 | D10-150 | TP : 6 010 |  |
| P : Tumpuan       | Lapangan   |             |          |                   |  |            |       |            |       |              |         |            |  |
| UB : 300 x 600 mm |  |             |          |                   |  |            |       |            |       |              |         |            |  |
| TA : 5 016        | 3 016  |             |          |                   |  |            |       |            |       |              |         |            |  |
| TB : 3 016        | 5 016  |             |          |                   |  |            |       |            |       |              |         |            |  |
| SK : D10-100      | D10-150  |             |          |                   |  |            |       |            |       |              |         |            |  |
| TP : 6 010        |  |             |          |                   |  |            |       |            |       |              |         |            |  |

 B2 | |                   |          | |-------------------|----------| | P : Tumpuan       | Lapangan | | UB : 200 x 400 mm |          | | TA : 5 006        | 2 006    | | TB : 3 006        | 5 006    | | SK : D10-100      | D10-150  | | TP : 2 013        |          | || B3 | |                   |         | |-------------------|---------| | P : Tumpuan       | Bebas   | | UB : 250 x 500 mm |         | | TA : 6 019        | 4 019   | | TB : 3 019        | 2 019   | | SK : D10-100      | D10-150 | | TP : 4 010        |         | | B4 | |                   |         | |-------------------|---------| | P : Tumpuan       | Bebas   | | UB : 150 x 400 mm |         | | TA : 2 016        | 2 016   | | TB : 2 016        | 2 016   | | SK : D10-100      | D10-150 | | TP : 2 013        |         | |
| CG | |                |              | |----------------|--------------| | P : Tumpuan    | Bebas        | | UB : 300 x 800 | 300 x 500 mm | | TA : 9 025     | 5 025        | | TB : 5 025     | 1 025        | | SK : 2013-100  | 2013-100     | | TP : 6 019     |              | | LB | |                   |          | |-------------------|----------| | P : Tumpuan       | Lapangan | | UB : 200 x 600 mm |          | | TA : 4 016        | 2 016    | | TB : 2 016        | 4 016    | | SK : D10-150      | D10-200  | | TP : 4 010        |          | |
| CB | Keterangan :  P = Penampang  UB = Ukuran Balok  TA = Tulangan Atas  TB = Tulangan Bawah  SK = Sengkang  TP = Tulangan Pengikat | 1A | |                   |         | |-------------------|---------| | P : Tumpuan       | Bebas   | | UB : 250 x 500 mm |         | | TA : 5 016        | 5 016   | | TB : 3 016        | 3 016   | | SK : D10-100      | D10-100 | | TP : 4 010        |         | |

Sumber : PT. Nindya Karya, 2017

Tabel 3. Dimensi Kolom Beton

| ipe                              | Detail  |                                  |  |              |  |        |            |          |        |      |         |        |         |          |         |       |         |       |         |
|----------------------------------|---|----------------------------------|--|--------------|--|--------|------------|----------|--------|------|---------|--------|---------|----------|---------|-------|---------|-------|---------|
| K1                               | <table border="1"> <tr> <td>Lantai - Dasar S/D Lantai - Atap</td> <td></td> </tr> <tr> <td>MUTU BETON :</td> <td></td> </tr> <tr> <td>UKURAN</td> <td>Dia.600 mm</td> </tr> <tr> <td>TULANGAN</td> <td>18 D22</td> </tr> <tr> <td>ATAS</td> <td>D10-100</td> </tr> <tr> <td>TENGAH</td> <td>D10-150</td> </tr> <tr> <td>SENGKANG</td> <td>D10-100</td> </tr> <tr> <td>BAWAH</td> <td>D10-100</td> </tr> <tr> <td>JOINT</td> <td>D10-100</td> </tr> </table> | Lantai - Dasar S/D Lantai - Atap |  | MUTU BETON : |  | UKURAN | Dia.600 mm | TULANGAN | 18 D22 | ATAS | D10-100 | TENGAH | D10-150 | SENGKANG | D10-100 | BAWAH | D10-100 | JOINT | D10-100 |
| Lantai - Dasar S/D Lantai - Atap |   |                                  |  |              |  |        |            |          |        |      |         |        |         |          |         |       |         |       |         |
| MUTU BETON :                     |   |                                  |  |              |  |        |            |          |        |      |         |        |         |          |         |       |         |       |         |
| UKURAN                           | Dia.600 mm  |                                  |  |              |  |        |            |          |        |      |         |        |         |          |         |       |         |       |         |
| TULANGAN                         | 18 D22  |                                  |  |              |  |        |            |          |        |      |         |        |         |          |         |       |         |       |         |
| ATAS                             | D10-100   |                                  |  |              |  |        |            |          |        |      |         |        |         |          |         |       |         |       |         |
| TENGAH                           | D10-150   |                                  |  |              |  |        |            |          |        |      |         |        |         |          |         |       |         |       |         |
| SENGKANG                         | D10-100   |                                  |  |              |  |        |            |          |        |      |         |        |         |          |         |       |         |       |         |
| BAWAH                            | D10-100   |                                  |  |              |  |        |            |          |        |      |         |        |         |          |         |       |         |       |         |
| JOINT                            | D10-100   |                                  |  |              |  |        |            |          |        |      |         |        |         |          |         |       |         |       |         |

| K2 | |                                  |                | |----------------------------------|----------------| | Lantai - Dasar S/D Lantai - Atap |                | | MUTU BETON :                     |                | | UKURAN                           | 200x400x200 mm | | TULANGAN                         | 8 D16          | | ATAS                             | D10-100        | | TENGAH                           | D10-200        | | SENGKANG                         | D10-150        | | BAWAH                            | D10-100        | | JOINT                            | D10-150        | |

Lanjutan Tabel 3. Dimensi Kolom  
Beton Bertulang

| tipe                          | Detail  |                               |  |              |  |        |              |          |       |      |         |        |         |          |         |       |         |       |         |
|-------------------------------|---|-------------------------------|--|--------------|--|--------|--------------|----------|-------|------|---------|--------|---------|----------|---------|-------|---------|-------|---------|
| K3                            | <table border="1"> <tr> <td>Lantai - Dasar S/D Lantai - 1</td> <td></td> </tr> <tr> <td>MUTU BETON :</td> <td></td> </tr> <tr> <td>UKURAN</td> <td>300 x 300 mm</td> </tr> <tr> <td>TULANGAN</td> <td>8 D16</td> </tr> <tr> <td>ATAS</td> <td>D10-100</td> </tr> <tr> <td>TENGAH</td> <td>D10-150</td> </tr> <tr> <td>SENGKANG</td> <td>D10-100</td> </tr> <tr> <td>BAWAH</td> <td>D10-100</td> </tr> <tr> <td>JOINT</td> <td>D10-100</td> </tr> </table> | Lantai - Dasar S/D Lantai - 1 |  | MUTU BETON : |  | UKURAN | 300 x 300 mm | TULANGAN | 8 D16 | ATAS | D10-100 | TENGAH | D10-150 | SENGKANG | D10-100 | BAWAH | D10-100 | JOINT | D10-100 |
| Lantai - Dasar S/D Lantai - 1 |   |                               |  |              |  |        |              |          |       |      |         |        |         |          |         |       |         |       |         |
| MUTU BETON :                  |   |                               |  |              |  |        |              |          |       |      |         |        |         |          |         |       |         |       |         |
| UKURAN                        | 300 x 300 mm  |                               |  |              |  |        |              |          |       |      |         |        |         |          |         |       |         |       |         |
| TULANGAN                      | 8 D16   |                               |  |              |  |        |              |          |       |      |         |        |         |          |         |       |         |       |         |
| ATAS                          | D10-100   |                               |  |              |  |        |              |          |       |      |         |        |         |          |         |       |         |       |         |
| TENGAH                        | D10-150   |                               |  |              |  |        |              |          |       |      |         |        |         |          |         |       |         |       |         |
| SENGKANG                      | D10-100   |                               |  |              |  |        |              |          |       |      |         |        |         |          |         |       |         |       |         |
| BAWAH                         | D10-100   |                               |  |              |  |        |              |          |       |      |         |        |         |          |         |       |         |       |         |
| JOINT                         | D10-100   |                               |  |              |  |        |              |          |       |      |         |        |         |          |         |       |         |       |         |

Sumber : PT. Nindya Karya, 2017

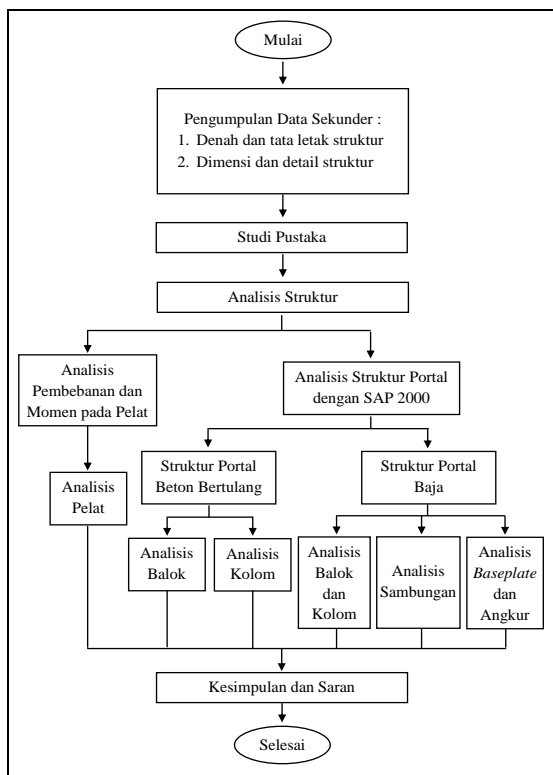
Tabel 4. Material Baja dan Alat  
Sambung

| no | Ukuran             | Keterangan   |
|----|--------------------|--------------|
| 1  | WF 450x200x9x14    | Kolom Baja   |
| 2  | WF 250x125x6x9     | Balok Baja   |
| 3  | WF 300x150x6,5x9   | Balok Baja   |
| 4  | WF 350x175x7x11    | Balok Baja   |
| 5  | WF 400x200x8x13    | Balok Baja   |
| 6  | Baut A325 – M20    | Alat Sambung |
| 7  | Baut A325 – M16    | Alat Sambung |
| 8  | Angkur Baut Ø22 mm | Angkur       |
| 9  | Pelat t = 25 mm    | Baseplate    |

Sumber : Data Diolah, 2017

### C. Langkah Penelitian

Langkah penelitian yang dilakukan ditunjukkan dalam diagram alir pada Gambar 2.



Sumber : Data Diolah, 2017

Gambar 2. Diagram Alir Penelitian

## PEMBAHASAN

### A. Data Teknis

Mutu material yang digunakan yaitu :

1. Mutu Beton  
K-300, dengan  $f_c' = 24,606 \text{ MPa}$
2. Mutu Baja Tulangan
  - a.  $f_y (\text{BJTD 40}) = 400 \text{ MPa}$
  - b.  $E_s = 200000 \text{ MPa}$
3. Mutu Baja Profil
  - a.  $f_u (\text{BJ 37}) = 370 \text{ MPa}$
  - b.  $f_y (\text{BJ 37}) = 240 \text{ MPa}$
  - c.  $E = 200000 \text{ MPa}$
  - d.  $G = 77200 \text{ MPa}$
4. Mutu Alat Sambung Baut
  - a.  $f_{nt} (\text{A325}) = 620 \text{ Mpa}$
  - b.  $f_{nv} (\text{A325}) = 372 \text{ MPa}$

### 5. Mutu Alat Sambung Las

$$f_{EXX} (\text{E70XX}) = 70 \text{ ksi} = 482,6 \text{ MPa}$$

### B. Analisis Pembebatan Pelat

Dari hasil analisis pembebatan pelat menggunakan metode pendekatan PBI 1971, momen ultimit pelat S1 dan S2 ditunjukkan pada Tabel 5 dan Tabel 6.

Tabel 5. Momen Struktur Pelat S1

|          | Zona A<br>(kNm) | Zona B<br>(kNm) | Zona C<br>(kNm) | Momen<br>(kNm) |
|----------|-----------------|-----------------|-----------------|----------------|
| $M_{lx}$ | 1,977           | 0,785           | 0,885           | 1,977          |
| $M_{ly}$ | 0,903           | 0,230           | 0,632           | 0,903          |
| $M_{tx}$ | -4,155          | -1,590          | -2,023          | -4,155         |
| $M_{ty}$ | -3,080          | -1,092          | -1,770          | -3,080         |

Sumber : Data Diolah, 2017

Tabel 6. Momen Struktur Pelat S2

|          | Zona A<br>(kNm) | Zona B<br>(kNm) | Zona C<br>(kNm) | Momen<br>(kNm) |
|----------|-----------------|-----------------|-----------------|----------------|
| $M_{lx}$ | 2,120           | 0,842           | 0,949           | 2,120          |
| $M_{ly}$ | 0,968           | 0,246           | 0,678           | 0,968          |
| $M_{tx}$ | -4,455          | -1,704          | -2,169          | -4,455         |
| $M_{ty}$ | -3,303          | -1,170          | -1,898          | -3,303         |

Sumber : Data Diolah, 2017

### C. Analisis Struktur Portal

Analisis struktur portal dilakukan menggunakan program SAP2000. Hasil dari analisis pembebanan maksimum untuk elemen struktur berupa balok dan kolom dirangkum dalam Tabel 7.

Tabel 7. Hasil Gaya Dalam Maksimum Struktur Portal Bangunan ATC

| Elemen<br>Struktur | P <sub>u</sub> | V <sub>u</sub> (kN) |          | M <sub>u</sub> (kN.m)  |                       |
|--------------------|----------------|---------------------|----------|------------------------|-----------------------|
|                    | (kN)           | Tumpuan             | Lapangan | Tumpuan                | Lapangan              |
| G1                 | -              | 105,276             | 60,919   | <sup>(*)</sup> 165,231 | 87,819                |
| G2                 | -              | 46,834              | 38,218   | <sup>(*)</sup> 55,776  | <sup>(*)</sup> 35,557 |
| G3                 | -              | 22,983              | 19,806   | <sup>(*)</sup> 21,082  | <sup>(*)</sup> 13,627 |
| B1                 | -              | 19,271              | 31,485   | <sup>(*)</sup> 30,890  | <sup>(*)</sup> 34,135 |
| B3                 | -              | 97,554              | 96,803   | <sup>(*)</sup> 55,061  | <sup>(*)</sup> 47,224 |
| CG                 | -              | 90,774              | 82,644   | <sup>(*)</sup> 162,607 | <sup>(*)</sup> 97,224 |
| LB                 | -              | 31,884              | 23,086   | <sup>(*)</sup> 54,380  | <sup>(*)</sup> 25,698 |
| CB1A               | -              | 24,842              | 24,042   | <sup>(*)</sup> 9,131   | <sup>(*)</sup> 4,985  |
| K1                 | 1054,002       | 38,639              |          | 92,981                 |                       |
| K2                 | 468,057        | 16,154              |          | 31,110                 |                       |
| K3                 | 40,506         | 2,073               |          | 5,252                  |                       |
| WF 450x200         | 152,428        | 35,436              |          | 128,439                | 5,360                 |
| WF 200x100         | 5,460          | 5,911               |          | 6,132                  | 0,038                 |
| WF 300x150         | 4,081          | 29,309              |          | 27,121                 | 0,480                 |
| WF 350x175         | 18,786         | 35,741              |          | 39,538                 | 0,322                 |
| WF 400x200         | 19,270         | 86,230              |          | 132,265                | 1,424                 |

Sumber : Data Diolah, 2017

### E. Struktur Balok Beton Bertulang

Hasil analisis balok daerah tumpuan ditunjukkan dalam Tabel 10, sedangkan untuk daerah lapangan/ujung bebas ditunjukkan dalam Tabel 11.

### D. Struktur Pelat Beton Bertulang

Hasil analisis pelat daerah lapangan dan tumpuan untuk pelat S1 ditunjukkan dalam Tabel 8 dan untuk pelat S2 ditunjukkan dalam Tabel 9.

Tabel 8. Hasil Analisis Pelat S1

| Keterangan                               | Lapangan |          | Tumpuan  |          |
|--|----------|----------|----------|----------|
|  | Sumbu x  | Sumbu y  | Sumbu x  | Sumbu y  |
| $M_a$ (kN.m)                             | 1,977    | 0,903    | 4,155    | 3,080    |
| $D_{tulangan}$ (mm)                      | 10       | 10       | 10       | 10       |
| s (mm)                                   | 150      | 150      | 150      | 150      |
| $A_{s,u}$ (mm <sup>2</sup> )             | 523,599  | 523,599  | 523,599  | 523,599  |
| $\rho$                                   | 0,0062   | 0,0070   | 0,0062   | 0,0070   |
| $\rho_{min}$                             | 0,0035   | 0,0035   | 0,0035   | 0,0035   |
| $\rho_{maks}$                            | 0,0167   | 0,0167   | 0,0167   | 0,0167   |
| Syarat $\rho_{min} < \rho < \rho_{maks}$ | Memenuhi | Memenuhi | Memenuhi | Memenuhi |
| $A_{s,min}$ (mm <sup>2</sup> )           | 240      | 240      | 240      | 240      |
| Syarat susut dan suhu                    | Memenuhi | Memenuhi | Memenuhi | Memenuhi |
| $M_a$ (kN.m)                             | 16,754   | 14,659   | 16,754   | 14,659   |
| $M_r$ (kN.m)                             | 15,078   | 13,193   | 15,078   | 13,193   |
| Syarat $M_r > M_a$                       | Memenuhi | Memenuhi | Memenuhi | Memenuhi |
| $e_c'$                                   | 0,000322 | 0,000373 | 0,000322 | 0,000373 |

Sumber : Data Diolah, 2017

Tabel 9. Hasil Analisis Pelat S2

| Keterangan                               | Lapangan |          | Tumpuan  |          |
|--|----------|----------|----------|----------|
|  | Sumbu x  | Sumbu y  | Sumbu x  | Sumbu y  |
| $M_a$ (kN.m)                             | 2,120    | 0,968    | 4,455    | 3,303    |
| $D_{tulangan}$ (mm)                      | 13       | 13       | 13       | 13       |
| s (mm)                                   | 150      | 150      | 150      | 150      |
| $A_{s,u}$ (mm <sup>2</sup> )             | 884,882  | 884,882  | 884,882  | 884,882  |
| $\rho$                                   | 0,0078   | 0,0088   | 0,0078   | 0,0088   |
| $\rho_{min}$                             | 0,0035   | 0,0035   | 0,0035   | 0,0035   |
| $\rho_{maks}$                            | 0,0167   | 0,0167   | 0,0167   | 0,0167   |
| Syarat $\rho_{min} < \rho < \rho_{maks}$ | Memenuhi | Memenuhi | Memenuhi | Memenuhi |
| $A_{s,min}$ (mm <sup>2</sup> )           | 300      | 300      | 300      | 300      |
| Syarat susut dan suhu                    | Memenuhi | Memenuhi | Memenuhi | Memenuhi |
| $M_a$ (kN.m)                             | 37,179   | 32,577   | 37,179   | 32,577   |
| $M_r$ (kN.m)                             | 33,461   | 29,320   | 33,461   | 29,320   |
| Syarat $M_r > M_a$                       | Memenuhi | Memenuhi | Memenuhi | Memenuhi |
| $e_c'$                                   | 0,000425 | 0,000494 | 0,000425 | 0,000494 |

Sumber : Data Diolah, 2017

### F. Struktur Kolom Beton Bertulang

Hasil analisis kolom K1, K2 dan K3 digambarkan dalam diagram interaksi kolom berturut-turut pada Gambar 3, Gambar 4 dan Gambar 5.

Tabel 10. Hasil Analisis Balok Pada Daerah Tumpuan

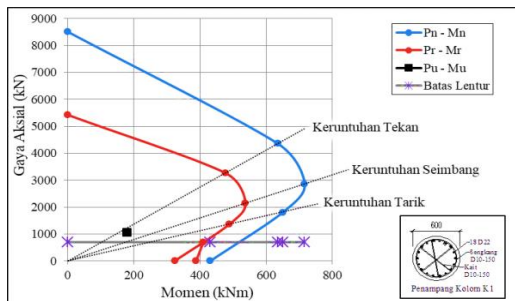
| Keterangan                                  | G1               | G2               | G3                 | B1               | B3               | CG               | LB               | CBIA             |
|---|------------------|------------------|--------------------|------------------|------------------|------------------|------------------|------------------|
| $M_u$ (kN.m)                                | 165,231          | 55,776           | 21,082             | 30,890           | 55,061           | 162,607          | 54,380           | 9,131            |
| $D_{bulanan}$ (mm)                          | 22               | 19               | 22                 | 16               | 19               | 25               | 16               | 16               |
| $\eta_{ul. tarik}$                          | 7                | 5                | 5                  | 5                | 6                | 9                | 4                | 5                |
| $\eta_{ul. tekan}$                          | 4                | 3                | 3                  | 3                | 3                | 5                | 2                | 3                |
| $A_s$ ( $\text{mm}^2$ )                     | 2660,929         | 1417,644         | 1900,664           | 1005,310         | 1701,172         | 4417,865         | 804,248          | 1005,310         |
| $A_s'$ ( $\text{mm}^2$ )                    | 1520,531         | 850,586          | 1140,398           | 603,186          | 850,586          | 2454,369         | 402,124          | 603,186          |
| $\rho$                                      | 0,00909          | 0,00908          | 0,03110            | 0,00642          | 0,01638          | 0,02208          | 0,00759          | 0,00953          |
| $\rho'$                                     | 0,00519          | 0,00545          | 0,01866            | 0,00385          | 0,00819          | 0,01227          | 0,00380          | 0,00572          |
| $(\rho - \rho')$                            | 0,00390          | 0,00363          | 0,01244            | 0,00257          | 0,00819          | 0,00982          | 0,00380          | 0,00381          |
| $\rho_{min}$                                | 0,00350          | 0,00350          | 0,00350            | 0,00350          | 0,00350          | 0,00350          | 0,00350          | 0,00350          |
| $\rho_{maks}$                               | 0,01667          | 0,01667          | 0,01667            | 0,01667          | 0,01667          | 0,01667          | 0,01667          | 0,01667          |
| $\rho_{min} < (\rho - \rho') < \rho_{maks}$ | Memenuhi         | Memenuhi         | Memenuhi           | Tidak Memenuhi   | Memenuhi         | Memenuhi         | Memenuhi         | Memenuhi         |
| $a$ (mm)                                    | 54,525           | 36,150           | 72,700             | 25,635           | 65,069           | 125,172          | 38,453           | 30,762           |
| $a_{min.leleh}$ (mm)                        | 155,550          | 151,725          | 267,750            | 147,900          | 151,725          | 332,775          | 147,900          | 147,900          |
| $a_{2a_{min.leleh}}$                        | Tul. Belum Leleh | Tul. Belum Leleh | Tul. Belum Leleh   | Tul. Belum Leleh | Tul. Belum Leleh | Tul. Belum Leleh | Tul. Belum Leleh | Tul. Belum Leleh |
| $c$ (mm)                                    | 99,799           | 80,959           | 131,834            | 66,619           | 103,982          | 164,899          | 75,056           | 73,396           |
| $\varepsilon_t$                             | 0,0190           | 0,0163           | 0,0040             | 0,0205           | 0,0090           | 0,0091           | 0,0182           | 0,0142           |
| $\varepsilon_t > 0,005$                     | Penampang Tarik  | Penampang Tarik  | Penampang Transisi | Penampang Tarik  |
| $f'_t$ (MPa)                                | 233,263          | 159,035          | 255,628            | 77,623           | 256,672          | 361,672          | 136,349          | 125,859          |
| $M_u$ (kN.m)                                | 727,231          | 272,248          | 184,015            | 197,133          | 249,321          | 1058,614         | 158,647          | 155,118          |
| $M_t$ (kN.m)                                | 654,508          | 245,023          | 149,577            | 177,420          | 224,389          | 952,753          | 142,782          | 139,606          |
| $M_t > M_u$                                 | Memenuhi         | Memenuhi         | Memenuhi           | Memenuhi         | Memenuhi         | Memenuhi         | Memenuhi         | Memenuhi         |
| $V_u$ (kN)                                  | 105,276          | 46,834           | 22,983             | 19,271           | 97,554           | 90,774           | 31,884           | 24,842           |
| $D_{sentral,s1}$ (mm)                       | 10               | 10               | 10                 | 10               | 10               | 13               | 10               | 10               |
| $D_{sentral,s2}$ (mm)                       | 10               | -                | -                  | -                | -                | 10               | -                | -                |
| $s_1$ (mm)                                  | 100              | 100              | 100                | 100              | 100              | 100              | 150              | 100              |
| $s_2$ (mm)                                  | 300              | 300              | -                  | -                | -                | 300              | -                | -                |
| $A_{v,1}$ ( $\text{mm}^2$ )                 | 157,080          | 157,080          | 157,080            | 157,080          | 157,080          | 265,465          | 157,080          | 157,080          |
| $A_{v,2}$ ( $\text{mm}^2$ )                 | 78,540           | 78,540           | -                  | -                | -                | 78,540           | -                | -                |
| $V_n$ (kN)                                  | 706,703          | 458,718          | 243,555            | 460,040          | 348,662          | 985,217          | 311,100          | 354,116          |
| $V_r$ (kN)                                  | 530,027          | 344,038          | 182,666            | 345,030          | 261,496          | 671,413          | 233,325          | 265,587          |

Sumber : Data Diolah, 2017

Tabel 11. Hasil Analisis Balok Pada Daerah Lapangan/Ujung Bebas

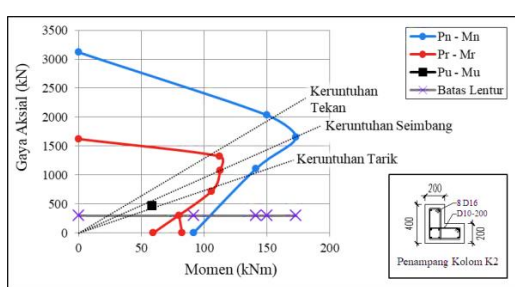
| Keterangan                                  | G1               | G2               | G3               | B1               | B3               | CG               | LB               | CBIA             |
|---|------------------|------------------|------------------|------------------|------------------|------------------|------------------|------------------|
| $M_u$ (kN.m)                                | 87,819           | 35,557           | 13,627           | 34,135           | 47,224           | 97,224           | 25,698           | 4,985            |
| $D_{bulanan}$ (mm)                          | 22               | 19               | 22               | 16               | 19               | 25               | 16               | 16               |
| $\eta_{ul. tarik}$                          | 3                | 3                | 3                | 3                | 4                | 5                | 2                | 3                |
| $\eta_{ul. tekan}$                          | 3                | 0                | 3                | 0                | 2                | 3                | 0                | 0                |
| $A_s$ ( $\text{mm}^2$ )                     | 1140,398         | 850,586          | 1140,398         | 603,186          | 1134,115         | 2454,369         | 402,124          | 603,186          |
| $A_s'$ ( $\text{mm}^2$ )                    | 1140,398         | 0,000            | 1140,398         | 0,000            | 567,057          | 1472,622         | 0,000            | 0,000            |
| $\rho$                                      | 0,00386          | 0,00525          | 0,01758          | 0,00371          | 0,01274          | 0,02003          | 0,00371          | 0,00546          |
| $\rho'$                                     | 0,00386          | -                | 0,01758          | -                | 0,00637          | 0,01202          | -                | -                |
| $(\rho - \rho')$                            | 0,00000          | -                | 0,00000          | -                | 0,00637          | 0,00801          | -                | -                |
| $\rho_{min}$                                | 0,00350          | 0,00350          | 0,00350          | 0,00350          | 0,00350          | 0,00350          | 0,00350          | 0,00350          |
| $\rho_{maks}$                               | 0,01667          | 0,01667          | 0,01667          | 0,01667          | 0,01667          | 0,01667          | 0,01667          | 0,01667          |
| $\rho_{min} < (\rho - \rho') < \rho_{maks}$ | Tidak Memenuhi   | Memenuhi         | Tidak Memenuhi   | Memenuhi         | Memenuhi         | Memenuhi         | Memenuhi         | Memenuhi         |
| $a$ (mm)                                    | 0,000            | 54,224           | 0,000            | 38,453           | 43,379           | 62,586           | 38,453           | 46,143           |
| $a_{min.leleh}$ (mm)                        | 155,550          | 279,225          | 267,750          | 275,400          | 151,725          | 167,025          | 147,900          | 147,900          |
| $a_{2a_{min.leleh}}$                        | Tul. Belum Leleh |
| $c$ (mm)                                    | 62,236           | 63,793           | 92,787           | 45,238           | 109,052          | 113,779          | 45,238           | 54,286           |
| $\varepsilon_t$                             | 0,0326           | 0,0224           | 0,0075           | 0,0329           | 0,0068           | 0,0078           | 0,0329           | 0,0214           |
| $\varepsilon_t > 0,005$                     | Penampang Tarik  |
| $f'_t$ (MPa)                                | 11,915           | -                | 110,705          | -                | 272,634          | 254,594          | -                | -                |
| $M_u$ (kN.m)                                | 324,567          | 174,672          | 125,385          | 126,132          | 195,992          | 347,143          | 84,088           | 101,077          |
| $M_t$ (kN.m)                                | 292,110          | 157,205          | 112,847          | 113,519          | 176,330          | 312,429          | 75,679           | 90,969           |
| $M_t > M_u$                                 | Memenuhi         |
| $V_u$ (kN)                                  | 60,919           | 38,218           | 19,806           | 31,485           | 96,803           | 82,664           | 23,086           | 24,042           |
| $D_{sentral,s1}$ (mm)                       | 10               | 10               | 10               | 10               | 10               | 13               | 10               | 10               |
| $D_{sentral,s2}$ (mm)                       | 10               | -                | -                | -                | -                | -                | -                | -                |
| $s_1$ (mm)                                  | 150              | 150              | 150              | 150              | 150              | 100              | 200              | 100              |
| $s_2$ (mm)                                  | 300              | -                | -                | -                | -                | -                | -                | -                |
| $A_{v,1}$ ( $\text{mm}^2$ )                 | 157,080          | 157,080          | 157,080          | 157,080          | 157,080          | 265,465          | 157,080          | 157,080          |
| $A_{v,2}$ ( $\text{mm}^2$ )                 | 78,540           | -                | -                | -                | -                | -                | -                | -                |
| $V_n$ (kN)                                  | 558,825          | 363,142          | 190,557          | 364,150          | 224,173          | 548,407          | 261,686          | 370,899          |
| $V_r$ (kN)                                  | 419,119          | 272,356          | 142,918          | 273,112          | 168,130          | 411,305          | 196,264          | 278,174          |

Sumber : Data Diolah, 2017



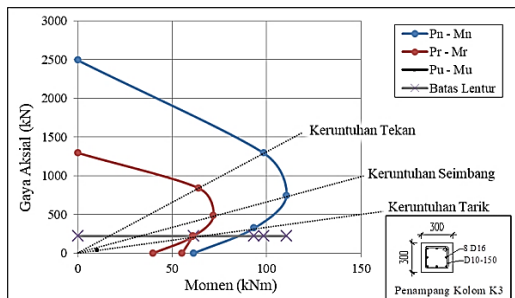
Sumber : Data Diolah, 2017

Gambar 3. Diagram Interaksi K1



Sumber : Data Diolah, 2017

Gambar 4. Diagram Interaksi K2



Sumber : Data Diolah, 2017

Gambar 5. Diagram Interaksi K3

## G. Struktur Portal Baja

Struktur kolom pada portal baja menggunakan profil WF 450x200x9x14, sedangkan struktur balok menggunakan profil WF 200x100x6x9, WF 300x150x6.5x9, WF 350x175x7x11 dan WF 400x200x8x13. Hasil analisis struktur portal baja ditunjukkan pada Tabel 12.

Tabel 12. Hasil Analisis Struktur Portal Baja

| Ket.           | Profil     |            |            |            |            |
|----------------|------------|------------|------------|------------|------------|
|                | WF 450x200 | WF 200x100 | WF 300x150 | WF 350x175 | WF 400x200 |
| P <sub>u</sub> | 152,428    | 5,460      | 4,081      | 18,786     | 19,270     |
| P <sub>r</sub> | 1062,787   | 551,437    | 799,060    | 1036,880   | 628,616    |

Lanjutan Tabel 12. Hasil Analisis Struktur Portal Baja

| Ket.                            | Profil         |            |            |            |            |
|---------------------------------|----------------|------------|------------|------------|------------|
|                                 | WF 450x200     | WF 200x100 | WF 300x150 | WF 350x175 | WF 400x200 |
| M <sub>ux</sub>                 | 128,439        | 6,132      | 27,121     | 39,538     | 132,265    |
| M <sub>rx</sub>                 | 350,242        | 26,149     | 112,769    | 181,623    | 277,766    |
| M <sub>uy</sub>                 | 5,360          | 0,038      | 0,480      | 0,322      | 1,424      |
| M <sub>ry</sub>                 | 62,326         | 10,074     | 22,513     | 37,250     | 57,453     |
| P-M                             | 1,086          | 0,243      | 0,264      | 0,235      | 0,516      |
| Syarat M-P                      | Tidak memenuhi | Meme-nuhi  | Meme-nuhi  | Meme-nuhi  | Meme-nuhi  |
| V <sub>u</sub>                  | 35,436         | 5,911      | 29,309     | 35,741     | 86,230     |
| V <sub>r</sub>                  | 546,912        | 157,248    | 263,952    | 330,624    | 430,848    |
| V <sub>u</sub> < V <sub>r</sub> | Meme-nuhi      | Meme-nuhi  | Meme-nuhi  | Meme-nuhi  | Meme-nuhi  |

Sumber : Data Diolah, 2018

## H. Sambungan Struktur Portal Baja

Sambungan struktur baja menggunakan alat pengencang berupa baut dan las. Hasil analisis pada 4 (empat) tipe sambungan ditunjukkan pada Tabel 13.

Tabel 13. Hasil Analisis Sambungan Struktur Portal Baja

| Keterangan  | WF200x100* dan WF300x150** | WF400x200* dan WF400x200**     | WF300x150* dan WF400x200** | WF300x150* dan WF350x175** |
|---|----------------------------|--------------------------------|----------------------------|----------------------------|
| P <sub>u</sub>  | 5,460                      | 19,270                         | 4,081                      | 4,081                      |
| M <sub>a</sub>  | 6,132                      | 132,265                        | 27,121                     | 27,121                     |
| V <sub>u</sub>  | 5,911                      | 83,250                         | 29,309                     | 29,309                     |
| M = V <sub>u</sub> e                                    | 0,443                      | 6,898                          | 2,198                      | 2,198                      |
| F = M <sub>a</sub> (h - t <sub>i</sub> )                | -                          | 341,769                        | -                          | 93,200                     |
| Sambungan Baut Pada Sambungan Balok I dan Pelat Sambung |                            |                                |                            |                            |
| Kekuatan pelat sambung                                  |                            |                                |                            |                            |
| a. Komponen sayap                                       |                            |                                |                            |                            |
| P <sub>r</sub>  | -                          | atas : 506,16<br>bawah : 406,2 | -                          | 305,250                    |
| Syarat : P <sub>r</sub> > F                             | -                          | Memenuhi                       | -                          | Memenuhi                   |
| b. Komponen badan                                       |                            |                                |                            |                            |
| V <sub>r</sub>  | 461,376                    | 196,470                        | 295,920                    | 295,920                    |
| Syarat : V <sub>r</sub> > V <sub>u</sub>                | Memenuhi                   | Memenuhi                       | Memenuhi                   | Memenuhi                   |
| M <sub>r</sub>  | 41,062                     | 103,788                        | 81,082                     | 40,541                     |
| Syarat : M <sub>r</sub> > M                             | Memenuhi                   | Memenuhi                       | Memenuhi                   | Memenuhi                   |
| Kekuatan alat sambung                                   |                            |                                |                            |                            |
| a. Komponen sayap                                       |                            |                                |                            |                            |
| R <sub>r</sub>  | -                          | 577,656                        | -                          | 246,792                    |
| Syarat : R <sub>r</sub> > F                             | -                          | Memenuhi                       | -                          | Memenuhi                   |
| b. Komponen badan                                       |                            |                                |                            |                            |
| Kuat geser baut tunggal                                 |                            |                                |                            |                            |
| P   | 5,910                      | 21,364                         | 8,764                      | 9,378                      |
| R <sub>r</sub>  | 43,956                     | 87,912                         | 30,849                     | 30,849                     |
| Syarat : R <sub>r</sub> > p                             | Memenuhi                   | Memenuhi                       | Memenuhi                   | Memenuhi                   |
| Kuat geser kelompok baut                                |                            |                                |                            |                            |
| R <sub>r</sub>  | 263,898                    | 505,080                        | 414,180                    | 369,086                    |
| Syarat : R <sub>r</sub> > P <sub>u</sub>                | Memenuhi                   | Memenuhi                       | Memenuhi                   | Memenuhi                   |
| Sambungan Las Pada Sambungan Pelat Sambung dan Balok II |                            |                                |                            |                            |
| R <sub>r</sub>  | 327,982                    | 476,004                        | 420,726                    | 420,726                    |
| Syarat : R <sub>r</sub> > V <sub>u</sub>                | Memenuhi                   | Memenuhi                       | Memenuhi                   | Memenuhi                   |

Sumber : Data Diolah, 2018

## I. Baseplate

Kontrol ketebalan *baseplate* dilakukan terhadap sisi tekan dan sisi tarik, dengan detail *baseplate* ditunjukkan pada Gambar 6. Berdasarkan kontrol tebal *baseplate* terhadap sisi tekan diperoleh tebal minimum (*t<sub>p</sub>*) sebesar 4,709 mm sedangkan terhadap sisi tarik diperoleh tebal minimum (*t<sub>p</sub>*) sebesar 20,128 mm. Tebal *baseplate* yang digunakan (25 mm) sudah mencukupi ketebalan mini-mum yang diperlukan.

## J. Baut Angkur

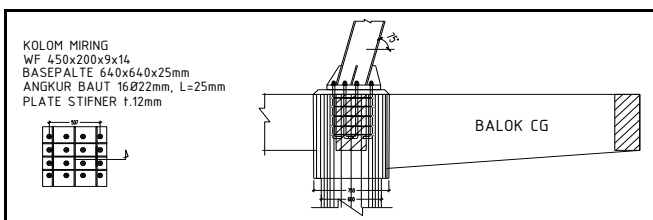
Analisis kekuatan baut angkur dilakukan berdasarkan batas kekuatan baut angkur terhadap gaya tarik dan gaya geser. Berdasarkan keadaan batas kekuatan baut

angkur, kuat tarik baut angkur yang menentukan yaitu N<sub>na</sub> = 78,888 kN (kuat jebol beton terhadap tarik), sedangkan kuat geser baut angkur yang menentukan yaitu V<sub>na</sub> = 56,767 kN (kuat jebol beton terhadap geser).

Interaksi gaya tarik dan geser :

$$\frac{N_{ua}}{\phi N_{na}} + \frac{V_{ua}}{\phi V_{na}} = 2,213 > 1,2$$

Nilai rasio interaksi gaya sebesar 2,213 melebihi syarat batas rasio interaksi gaya tarik dan geser yaitu sebesar 1,2. Hal ini menunjukkan bahwa angkur tidak mampu menahan beban yang bekerja.



Sumber : PT. Nindya Karya, 2017

Gambar 6. Detail Baseplate

## PENUTUP

### A. Kesimpulan

Berdasarkan hasil analisis yang dilakukan terhadap struktur bangunan *Air Traffic Control* (ATC) di Bandara Depati Amir Pangkalpinang, kesimpulan yang dapat diambil yaitu :

1. Kemampuan elemen struktur beton bertulang dalam menahan beban yang bekerja dijabarkan sebagai berikut.
  - a. Elemen struktur pelat S1 dan S2 mampu menahan beban yang bekerja, dengan hasil analisis pada daerah tumpuan maupun lapangan memenuhi syarat rasio penulangan ( $\rho_{\min} < \rho < \rho_{\max}$ ) serta memenuhi syarat kekuatan ( $M_r > M_u$ ).
  - b. Elemen struktur balok G2, B3, CG, LB dan CB1A mampu menahan beban yang bekerja, dengan hasil analisis pada daerah tumpuan maupun lapangan memenuhi syarat rasio penulangan ( $\rho_{\min} < (\rho - \rho') < \rho_{\max}$ ) serta syarat kekuatan lentur dan geser ( $M_r > M_u$  dan  $V_r > V_u$ ). Pada balok G1 dan G3 mampu menahan beban yang bekerja, dengan hasil analisis pada daerah tumpuan memenuhi syarat rasio penulangan serta syarat kekuatan lentur dan geser, sedangkan pada daerah lapangan tidak memenuhi syarat rasio penulangan namun memenuhi syarat kekuatan lentur dan geser. Pada balok B1 mampu menahan beban yang bekerja, dengan hasil analisis pada daerah tumpuan tidak memenuhi syarat rasio penulangan serta syarat kekuatan lentur dan geser, sedangkan
- c. pada daerah lapangan memenuhi syarat rasio penulangan serta syarat kekuatan lentur dan geser.
- c. Elemen struktur kolom K1, K2 dan K3 mampu menahan beban yang bekerja serta memenuhi syarat kekuatan geser.
2. Kemampuan elemen struktur baja dalam menahan beban yang bekerja dijabarkan sebagai berikut.
  - a. Elemen struktur kolom (WF 450x200) tidak mampu menahan beban yang bekerja, dengan hasil analisis tidak memenuhi syarat interaksi kuat aksial dan lentur namun memenuhi syarat kekuatan geser. Pada struktur balok (WF 200x100, WF 300x150, WF 300x175 dan WF 400x200) mampu menahan beban yang bekerja, dengan hasil analisis memenuhi syarat interaksi kuat aksial dan lentur serta syarat kekuatan geser.
  - b. Sambungan balok pada WF 200x100 dan WF 300x150, WF 400x200 dan WF 400x200, WF 300x150 dan 400x200, serta WF 300x150 dan WF 350x175 mampu menahan beban yang bekerja.
  - c. *Baseplate* mampu menahan beban yang bekerja, dengan ketebalan *baseplate* memenuhi ketebalan minimum yang dibutuhkan.
  - d. Baut angkur tidak mampu menahan beban yang bekerja, dengan hasil analisis tidak memenuhi syarat interaksi kuat tarik dan geser.

## B. Saran

Saran yang dapat diberikan untuk analisis struktur bangunan yaitu melakukan analisis secara keseluruhan struktur, yaitu struktur atas dan struktur bawah bangunan. Selain itu, penelitian dapat dilanjutkan

dengan melakukan perencanaan ulang untuk memperoleh struktur yang ekonomis namun tetap memenuhi kekuatan struktur yang diperlukan.

## DAFTAR PUSTAKA

- Anonim. 1979. *Peraturan Beton Bertulang Indonesia 1971 (cetakan ke 7)*. Bandung: Departemen Pekerjaan Umum dan Tenaga Listrik Direktorat Jenderal Cipta Karya Direktorat Penyelidikan Masalah Bangunan.
- Anonim. 1987. *Pedoman Perencanaan Pembebaan Untuk Rumah dan Gedung*. Jakarta: Diterbitkan Oleh Yayasan Badan Penerbit PUDepartemen Pekerjaan Umum.
- Anonim. 2012. SNI 1726-2012 *Tata Cara Perencanaan Ketahanan Gempa Untuk Struktur Bangunan Gedung dan Non Gedung*. Jakarta: Badan Standardisasi Nasional.
- Anonim. 2013. SNI 2847-2013 *Persyaratan Beton Struktural Untuk* *Bangunan Gedung*. Jakarta: Badan Standardisasi Nasional.
- Anonim. 2015. SNI 1729-2015 *Spesifikasi Untuk Bangunan Gedung Baja Struktural*. Jakarta: Badan Standardisasi Nasional.
- Asroni, A. 2010a. *Kolom dan Pelat Beton Bertulang*. Yogyakarta: Graha Ilmu.
- Asroni, A. 2010b. *Kolom Fondasi & Balok T Beton Bertulang*. Yogyakarta: Graha Ilmu.
- Dewobroto, W. 2016. *Struktur Baja Perilaku, Analisis & Desain – AISC 2010 Edisi ke-2*. Tanggerang : Penerbit Jurusan Teknik Sipil UPH.
- Setiawan, A. 2016. *Perancangan Struktur Beton Bertulang Berdasarkan SNI 2847:2013*. Jakarta: Penerbit Erlangga.